



فصلنامه‌ی اقتصاد مقداری

صفحه‌ی اصلی وب سایت مجله:

www.jqe.scu.ac.ir

شایا الکترونیکی: 2717-4271

شایا چاپی: 2008-5850



دانشگاه شهید بهشتی تهران آموزش

خوشبندی فازی سری‌های زمانی مالی بر اساس سرریزهای نوسانات جهتدار: شواهدی از سهام شرکت‌های پذیرفته شده در بورس تهران

الهام فرزانگان*

* استادیار اقتصاد، گروه علوم اقتصادی و اجتماعی، دانشگاه بوعلی سینا - مجتمع آموزش عالی نهاوند (ویژه دختران)، همدان، ایران
(نویسنده‌ی مسئول).

طبقه‌بندی JEL: G12, C61, C34

واژگان کلیدی:
تقسیم‌بندی فازی اطراف مدویدها، سرریزهای نوسانات جهتدار، معیار عدم
مشابهت وزنی، فاصله‌نمایی، بورس تهران

آدرس پستی:
همدان، چهارباغ شهید مصطفی احمدی روش، دانشگاه بوعلی سینا - مجتمع
آموزش عالی نهاوند (ویژه دختران)، کد پستی: 65178-38695

اطلاعات مقاله:

تاریخ دریافت: 7 شهریور 1395

تاریخ بازنگری: 8 اسفند 1395

تاریخ پذیرش: 13 فروردین 1396

انتشار اینلاین از تاریخ 22 مرداد 1400

ارتباط با نویسنده مسئول:

ایمیل: e.farzaneqan@basu.ac.ir

0000-0002-3725-3189

اطلاعات تکمیلی:

قدارانی: از داوران محترم بابت پیشنهادهای ارزشمند که موجب بهبود کیفیت این تحقیق شده است، قدردانی می‌نماییم.

تضاد منافع: نویسنده مقاله اعلام می‌کند که در انتشار مقاله اوانه شده تضاد منافع وجود ندارد.

منابع مالی: نویسنده هیچ‌گونه حمایت مالی برای تحقیق، تألیف و انتشار این مقاله نداشت.

چکیده

در این مقاله یک چارچوب برای خوشبندی فازی سری‌های زمانی مالی معرفی می‌شود که بر مبنای سرریزهای نوسانات جهتدار قرار دارد. کشف خوشبندی فازی سری‌های نوسانات بین سری‌های زمانی مالی بینش عمیقی در رابطه با ساختار بازار قرار گرفته می‌کند که می‌تواند علاوه بر مدیران پرتفوی، برای سیاستگذاران نیز مفید باشد. بدین منظور، سرریزهای نوسانات جهتدار - "از سوی" و "به سوی" سایر سهمهای- بر اساس متداول‌ترین تجزیه واریانس خطای پیش‌بینی تعمیماً پذیرفته (GFEVD) اندازه گرفته می‌شوند. بعلاوه، برای اندازه‌گیری عدم مشابهت‌ها از فاصله اقلیسی و وزن‌دار تعمیماً پذیرفته نسبت به سرریزهای جهتدار، استفاده می‌شود. سپس، با اتخاذ یک چارچوب فازی مبتنی بر الگوریتم تقسیم‌بندی اطراف مدویدها، تحت عنوان مدل خوشبندی-C- مدویدهای فازی مبتنی بر سرریز نوسانات (VS-FCMdd)، وزن‌های بهینه تعیین و سهمهای نیز بر حسب درجه عضویت گروه‌بندی می‌شوند. بعلاوه، بهمنظر کثیف کردن تاثیر سهمهای پرت در فرازهای خوشبندی، مدل C-مدویدهای فازی نمایی مبتنی بر سرریز نوسانات (VS-E-FCMdd)، نیز در نظر گرفته می‌شود که به دلیل داشتن گرفتن تبدیل تعیین از معیار عدم مشابهت وزنی، یک مدل استوار محسوب می‌شود. در پژوهش حاضر این دو رویکرد خوشبندی نخستین بار برای بررسی اثرات سرریز در نمونه‌ای منتخب از 30 سهام شرکت از 28 صنعت فعال در بورس تهران، طی بازه زمانی 1387-1402 در نظر گرفته می‌شود. بر اساس شاخص ژئو-بینی تعداد بهینه دو خوشبندی نوسانات تعیین می‌شود. مقایسه نتایج نشان می‌دهد که



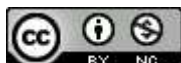
مدل **VS-E-FCMdd** افزارهای فازی تبری را تولید و بر خوشبندی سرریزهای نوسانات سهام در بورس تهران کارآئتر عمل می‌کند. یافته‌های تجربی حاصل از مدل **VS-E-FCMdd** نشان می‌دهد که بعد سرریز "از سوی" برای خوشبندی سهم‌ها از اهمیت بیشتری برخوردار است. پهلویزه اینکه خوشة ۱ حاوی سهم‌هایی است که سرریز بیشتری را "از سوی" سایرین دریافت ولى سرریز کمتری را "پس‌سوی" آن‌ها می‌فرستد.

ارجاع به مقاله:

فرزانگان، الهام. (1403). خوشبندی فازی سری های زمانی مالی بر اساس سرریزهای نوسانات چهتدار: شواهدی از سهام شرکت های پذیرفته شده در بورس تهران. *فصلنامه اقتصاد مقداری (پژوهشی های اقتصادی سابق)*, دوره (شماره)، ص. ص.



10.22055/jqe.2019.26401.1899



© 2024 Nahavand Higher Education Complex, Bu-Ali Sina University, Hamedan, Iran. This article is an open access article distributed under the terms and conditions of the Creative Commons Attribution-NonCommercial 4.0 International (CC BY-NC 4.0 license) (<http://creativecommons.org/licenses/by-nc/4.0/>)

پذیرفتاب انتشار

۱- مقدمه

خوشبندی یک تکنیک یادگیری غیر نظری است که برای پیدا کردن مشابهت‌ها یا تفاوت‌ها بین واحدهای اماراتی در یک مجموعه داده، مورد استفاده قرار می‌گیرد. انچه در خوشبندی مهم می‌باشد این است که چطور می‌توان عدم مشابهت‌ها را اندازه‌گیری نمود.

از دیدگاه روش‌شناسی سری‌های زمانی، عدم مشابهت‌ها را می‌توان با استفاده از معیارهای فاصله اندازه‌گیری نمود؛ فاصله اقلیدی متعارف که فقط بر مبنای نزدیک بودن مقادیر مشاهدات قرار دارد، نمی‌تواند معیار مناسبی برای سنجش عدم مشابهت بین سری‌های زمانی باشد؛ زیرا هیچ‌گونه فرضی راجع به فرآیند تولید داده‌ها در نظر نمی‌گیرد.

در ادبیات، ارائه یک تعریف مناسب از عدم مشابهت هنگامی که سری‌های زمانی مالی واقعی موردنوجه باشند، پیچیده‌تر هم می‌شود. درواقع، برای دست یافتن به یک خوشبندی معترض و قابل قبول، حقایق تجربی شناخته شده در سری‌های زمانی مالی نیز می‌باید در تعریف عدم مشابهت‌ها قرار داده شود. برخی ویژگی‌های سری‌های زمانی مالی که در ادبیات برای خوشبندی مورد استفاده قرار گرفته‌اند عبارتند از نوسانات بازده، حافظه بلندمدت، خودهمبستگی، واریانس ناهمسانی، گشتاورهای مراتب بالا، عدم تقارن و دلتالهای پهن چگالی‌های تجربی، (Jondeau & Rockinger, 2012; Soltyk & Chan, 2023).

با وجود این، مروار ادبیات نشان می‌دهد که هنوز هم حقایق تجربی مهم و قابل توجیهی در سری‌های زمانی مالی مشاهده می‌شود که تاکنون برای خوشبندی موردنوجه قرار نگرفته است. یکی از این موارد، وجود اثرات سرریز در مقادیر مشاهده شده نوسانات است. کشف خوشه در سرریزهای نوسانات بین دارایی‌ها یا بین بازارهای دارایی مختلف، بینش عمیقی از ساختار بازارهای مالی فراهم می‌کند که می‌تواند برای مدیران پرتفوی و سیاست‌گذاران در شرایط وقوع بحران‌های مالی و نااطمینانی گسترده در سطح اقتصاد، مفید واقع شود؛ بالأخص زمانی که سرریزهای نوسانات جهت‌دار در نظر گرفته می‌شود (Diebold & Yilmaz, 2009, 2012). داشتن اطلاعات راجع به انتقال شوک‌ها درون یک بازار از ارزش سیاسی بالایی برخوردار است زیرا مداخلات سیاسی به موقع می‌تواند گسترش احتمالی شوک‌ها فراتر از حدود قابل قبول را کنترل کند. علاوه بر این، مدیریت شوک درون یک سیستم نسبتاً ساده‌تر است زیرا می‌توان با بهر مکرری از ویژگی‌های پویای سیستمی شوک‌ها و با نظریت بر نحوه حرکات آن‌ها، قدرت پیش‌بینی بهتری برای یک دارایی حاصل نمود.

نوآوری این پژوهش از دیدگاه روش‌شناسی، در استفاده از رویکردی برای خوشبندی فازی سری‌های زمانی است که بر مبنای سرریزهای نوسانات جهت‌دار قرار دارند. بدین منظور به پیروی از ادبیات موجود و بالأخص سرکتی و همکاران (2023)، دو شاخص سرریز نوسانات جهت‌دار – "از سوی" و "به سوی" سایرین – از طریق تجزیه واریانس خطای پیش‌بینی تعیین‌گافته (GFEVD)، اندازه گرفته می‌شود (Cerqueti et al., 2023; Diebold & Yilmaz, 2012) تقسیم‌بندی اطراف مدویدها¹ (PAM) در یک چارچوب خوشبندی فازی – تحت عنوان الگوریتم C-Medoیds مدویدهای فازی مبتنی بر سرریز نوسانات² (VS-FCMdd) – اتخاذ می‌گردد؛ که با استفاده از آن می‌توان به گروه‌بندی سهم‌هایی که دارای درجه مشابهی از سرریز نوسانات هستند، پرداخت. ازانجایی که در این پژوهش دو بُعد سرریز – یعنی سهم‌های "دندنه" و "گردنه" – موردنوجه قرار دارد، در تعریف معیار فاصله از یک سیستم وزن‌دهی خودکار استفاده می‌شود؛ به این صورت که اجازه داده می‌شود داده‌ها تصمیم‌گیرنده که کدام‌یک از دو بُعد سرریز برای خوشبندی مجموعه داده‌ها، مناسب‌تر است. علاوه، برای کاهش تأثیر منفی مشاهدات پرت در روش خوشبندی، یک رویکرد استوار بر مبنای تبدیل نمایی³ از محدود فاصله اقلیدی وزن‌دار (VS-E-FCMdd) نیز پیشنهاد می‌شود (D'Urso et al., 2016).

¹ Partitioning Around Medoids

² Volatility Spillover-based Fuzzy C-Medoids

³ Exponential Transformation

نوآوری پژوهش حاضر در مقایسه با مطالعات داخلی، بکار گرفتن رویکرد C- مدویدهای فازی است که برای نخستین بار از سرریزهای نوسانات جهت‌دار برای خواهدی سهام شرکت‌های فعل در صنایع مختلف بورس تهران استفاده می‌کند.

۲- مبانی نظری و پیشینه پژوهش

آن چیزی که در خواهدی از اهمیت زیادی برخوردار است چگونگی اندازه‌گیری عدم مشابهت‌های بین واحدها است. از نقطه‌نظر روش‌شناسی، روش‌های اندازه‌گیری عدم شباهت بین سری‌های زمانی را می‌توان در قالب سه رویکرد طبقه‌بندی نمود؛ روش‌های خواهدی مبتنی بر داده‌های خام سری‌های زمانی واقعی، روش‌های مبتنی بر مشخصه‌های سری‌های زمانی و روش‌های مبتنی بر تخمين‌های پارامترهای یک مدل آماری (Caiado et al., 2015). رویکردهای خواهدی مبتنی بر داده‌های خام، به‌طورمعمول همه مشاهدات یا برخی موقعیت‌های سری‌های زمانی یا تبدیل‌های مناسبی از آن‌ها، مثل سرعت و شتاب را در نظر می‌گیرند. این رویکردها هیچ‌گونه فرضی راجع به فرآیند تولید داده‌ها لحاظ نمی‌کنند (Coppi et al., 2010; D'Urso et al., 2021). خواهدی برمنای مشاهدات صرف، به خاطر وجود نویز، کزیته مطلوبی نمی‌باشد به همین خاطر، رویکردهای خواهدی مبتنی بر مشخصه، با مبنای قرار دادن مشخصه‌های مناسبی از سری‌های زمانی به دنبال حل مشکل خواهدی داده‌های سری زمانی خام نویزی موردنوجه قرار گرفتند. آن دسته از مشخصه‌های سری‌های زمانی که به‌طورمعمول برای تعیین معیار عدم مشابهت در نظر گرفته می‌شوند عبارت‌اند از در بُعد زمان: ضرایب همبستگی (Mantegna, 1999)، همبستگی مقابله (Alonso et al., 2021)، ساختار خودهمبستگی (Lafuente-Rego et al., 2009) (D'Urso & Maharaj, 2009) و ساختار خودکواریانس کوانتل⁴ (Caiado et al., 2006) (Piccolo, 1990)، ضرایب کپسٹرال⁵ (2020)، در بُعد فرکاتس: مشخصه‌های پریودogram (Savvides et al., 2008) یا چگالی طیبی-مقابل کوانتل (López-Oriona et al., 2022) (D'Urso et al., 2023)؛ در بُعد موجک: تجزیه موجک (D'Urso et al., 2017) (D'Urso et al., 2023). رویکردهای خواهدی مبتنی بر مدل، بر مبنای مشخصه‌هایی از مدل‌های برآش شده برای سری‌های زمانی قرار می‌گیرند. براین اساس عدم مشابهت‌ها با استفاده از پارامترهای تخمین زده شده یا با استفاده از پسماندهای مدل‌های برآش شده، تعیین می‌شود. در این مورد روش‌های خواهدی عبارت‌اند از: مدل‌های ARMA (Otranto, 2008) (GARCH)، مدل‌های GARCH (Piccolo, 1990) (D'Urso et al., 2021)، یا پارامترهای توزیع‌ها (D'Urso, Maharaj, & Alonso, 2017).

در ادبیات خواهدی، محورهای پژوهش بر چگونگی استفاده از روش‌های خواهدی تحت حقایق تجربی مختلف مشاهده شده از سری‌های زمانی، فرار دارد. بدین منظور، رویکردهای خواهدی مختالفی معرفی شده است که می‌توانند این حقایق تجربی را در خود جای دهند. در رابطه با رویکردهای مبتنی بر مشخصه اماری سری‌های زمانی مالی، می‌توان به رویکردهایی که از امارهای مبتنی بر واریانس (Bastos & Caiado, 2014) (D'Urso et al., 2020) (Cerqueti & Mattera, 2023)، مؤلفه‌های هرست (Bastos & Caiado, 2014) (D'Urso et al., 2016) یا ترکیب‌هایی از مشخصه‌های مختلف داده‌های ایستا (Bastos & Caiado, 2021) استفاده می‌کنند، اشاره نمود. از سوی دیگر، در رابطه با رویکردهای مبتنی بر مدل‌سازی سری‌های زمانی مالی، مدل‌های خواهدی وجود دارد که بر پایه فرآیند ARMA (D'Urso et al., 2013) (D'Urso et al., 2016; D'Urso et al., 2013) (GARCH) یا مدل‌های امتیاز‌محور قرار داده شده‌اند به‌گونه‌ای که می‌توانند کشتاورهای مرتبه بالاتر را نیز در خود جای دهند (Cerqueti et al., 2022).

⁴ Quantile Autocovariance Structure

⁵ Cepstral Coefficients

⁶ Splines Coefficients

⁷ Multiplicative Error Model

با وجود گستردگی و تنوع مشخصه‌های در نظر گرفته شده، هنوز هم حقایق تجربی مهم و قابل ملاحظه‌ای مشاهده شده است که تاکنون برای خوشبندی موردنموده قرار نگرفته‌اند. یکی از این موارد، وجود اثرات سریز در مقادیر مشاهده شده نوسانات است (Cerqueti et al., 2023). سریزهای نوسانات می‌توانند بین سهام شرکت‌ها در یک بازار (Diebold & Yilmaz, 2014; Choi et al., 2019) یا بین صنایع فعل در یک بازار (Chen et al., 2022; Gillaizeau et al., 2019) به وجود آیند، اما می‌توانند به علت روابط میان سهم‌ها در سطح بین‌المللی نیز وجود داشته باشند (Buncic & Gisler, 2016). به علاوه، سریزهای نوسانات می‌توانند حتی با لحاظ شوک‌های بروزنزا مثل قیمت نفت (Chang et al., 2013) یا دیگر نااطمینانی‌ها (Cheuathonghua et al., 2019) هنوز هم وجود داشته باشند. سرکتی و همکاران (2023) بر کشف خوشهای در سریزهای نوسانات جهتدار (Diebold & Yilmaz, 2009, 2012) تأکید کرده‌اند، آن‌ها معتقدند که تجزیه و تحلیل سریزهای نوسانات جهتدار امکان شناسایی دارایی‌های به‌اصطلاح "دهنه" و "گیرنده"⁸ را فراهم می‌کند. دارایی‌هایی دهنده محسوب می‌شوند که بیشتر از آنکه سریز دریافت کنند، آن را برای سایر دارایی‌ها تولید می‌کنند؛ بر عکس، دارایی‌هایی که گیرنده سریز را بیشتر جمع می‌کنند تا اینکه آن را برای سایرین تولید کنند. براین اساس، این محققین بین منابع سریز "از سوی" و سریز "بسوی"⁹، تمیز در نظر گرفته‌اند. وجود خوشهای در سریزهای نوسانات از نظر مفهومی دلالت بر وجود گروه‌هایی از سهم‌ها دارد که موقع یک شوک در آن‌ها هردی نوسانات غیرسیستماتیک و نوسانات مربوط به سایر دارایی‌های افرایش می‌دهد؛ درحالی‌که گروه‌هایی دیگر از سهم‌ها وجود دارد که بیشتر در معرض شوک‌های ناشی از سایر دارایی‌ها قرار دارند. به عبارت دیگر، وجود خوشهای دلالت دارد بر اینکه میزان انتقال نوسانات میان گروه‌های سهم‌ها مختلف است.

نکته‌ای که در ادبیات خوشبندی وجود دارد این است که شناسایی یک مرز مشخص و قطعی بین خوشهای در بازار سهام واقعی، همیشه امکان‌پذیر نیست؛ در مقابل، خوشبندی در یک چارچوب فازی، این امکان را فراهم می‌کند که هر سهم بتواند همزمان متعلق به چند خوش باشد با درجه عضویتی که نشان‌دهنده نااطمینانی راجع به تخصیص آن سهم به هر خوش است. براین اساس، می‌توان بر نااطمینانی ذاتی قرار گرفته در خوشبندی سری‌های زمانی مالی غالبه نمود (Cerqueti et al., 2023).

برخلاف اهمیت موضوع، شواهد تجربی در این زمینه برای بازارهای نوظهور از جمله بورس تهران با داشتن چشم‌انداز توسعه‌آتی، وجود ندارد. از این‌رو، پژوهش حاضر به دنبال پوشش این شکاف است و به پیروی از رویکرد پیشنهادی (Cerqueti et al., 2023)، یک مدل خوشبندی فازی برای کشف گروه‌هایی از سهم‌ها که درجه مشابه سریز دارند، استفاده می‌شود. برای این منظور، از الگوریتم PAM در چارچوب فازی استفاده می‌شود؛ مزیت رویکرد PAM در این است که از نقاط داده به عنوان مدولیده استفاده می‌کند (Van der Laan et al., 2003).

مسئله دیگری که ممکن است در فرآیند خوشبندی با آن مواجه شویم (مانند این است که داده‌های دنبای واقعی از بازارهایی جمع‌آوری شده باشند که متشکل از تعدادی اندک از سهم‌هایی باشند که از مقادیر بسیار زیاد یا مقادیر بسیار کم سریز در مقایسه با دیگر سهم‌ها برخوردار هستند. این نوع الگوهای خلاف قاعده در سری‌های زمانی را برای مثال می‌توان در بازاری نسبتاً کوچک که تحت سلطه کامل چند شرکت بزرگ قرار دارد، مشاهده نمود؛ هر چند که این چنین الگوهایی می‌توانند در بازارهای بزرگ پیشرفت‌های نیز وجود داشته باشد. در ادبیات، برای خنثی ساختن اثر منفی داده‌های پرت، روش‌های خوشبندی فازی استوار پیشنهادشده است: در رویکرد نویزی، سری‌های زمانی پرت به خوشهای نویزی اختصاص داده می‌شوند (D'Urso et al., 2013)؛ در رویکرد متريک، معیارهای فاصله که از ویژگی‌های استوار بودن برخوردار هستند تعریف می‌شود (D'Urso et al., 2015). در رویکرد (D'Urso et al., 2015)، روش خوشبندی بعد از حذف بخش معینی از داده‌های پرت، پیدا‌سازی می‌شود (D'Urso et al., 2013).

⁸ Givers and Receivers

⁹ "From" and "To" Sources of Spillovers

¹⁰ Trimmed Approach

Massari, et al., 2017) وارد می‌شود تا به سری‌های زمانی پرت به طور عینی وزن داده شود (D'Urso, 2005). براین اساس، در پژوهش حاضر به پیروی از (Cerqueti et al., 2023) روش خوشبندی فازی بر پایه رویکرد وزن‌دهی بکار برده می‌شود؛ برای ختنی نمودن اثر داده‌های پرت، یک متريک استوار¹¹ مبتنی بر تبدیل نمایی از مجنور فاصله اقلیدسی وزن‌دار (D'Urso et al., 2016) اتخاذ می‌شود.

Bei و همکاران (2021) یک معیار فاصله وزنی مشکل از فاصله اقلیدسی، فاصله ساختار زمانی پویا¹² (DTW) و فاصله DTW مبتنی بر تفاصل دنباله داده‌ها را معرفی و از آن درتابع هدف الگوریتم خوشبندی C-مدویدهای فازی و الگوریتم خوشبندی ترکیبی C-میانگین فازی¹³ استفاده نمودند (Bei et al., 2021). این محققین تعداد خوشبندی‌های بینهای را با استفاده از الگوریتم بهینه‌سازی از دحام نرات به سمت آورده‌اند. دی ارسو و همکاران (2016) مدل‌های خوشبندی فازی استوار مختفی را پیشنهاد نمودند که درتابع هدف آن‌ها، یک معیار فاصله اقلیدسی وزن‌دار با استفاده از پارامترهای تخمين زدۀ مدل GARCH و یک سیستم وزن‌دهی مناسب، بکار برده می‌شود. این معیار فاصله بر مبنای مقایسه فاصله بین نوسان‌پذیری غیرشرطی سری‌های زمانی و فاصله بین نوسان‌پذیری زمان متغیر سری‌های زمانی، قرار دارد (D'Urso et al., 2016). ژو و همکاران (2016) یک الگوریتم "خوشبندی C-مدویدهای شواهد"¹⁴ معرفی کردند که بر مبنای مدویدهای وزن‌دار چندگانه قرار دارد از این نظر که برای نمایش کامل هر خوشبندی‌های مختفی از ساختار گروه‌ها می‌باید درنظر گرفته شود (Zhu, 2016).

در داخل کشور، احسانی و ال‌محمد (2021) با استفاده از رویکرد خوشبندی فازی اطراف مدوی مبتنی بر معیار فاصله اقلیدسی بهبودیافته بر اساس مدل اریما، به خوشبندی 21 صنعت در بورس اوراق بهادار تهران پرداختند. سری‌های زمانی بر اساس شاخص سیلوهوت سخت و سیلوهوت فازی به 4 گروه خوشبندی شده‌اند (Ehsani & Aleomohammad, 2021). رعیتی شوازی و همکاران (2021) با استفاده از رویکرد خوشبندی C-میانگین مبتنی بر سوابیت مالی پرتفویهای همپوشان، به خوشبندی صنایع مختلف در بورس اوراق بهادار تهران پرداخته‌اند. (Rayati Shavazi et al., 2021). اصغری و احمدی (2018) با استفاده از الگوریتم کی‌مینز به خوشبندی مشتریان دریافت‌کننده تسهیلات صندوق کارآفرینی امید پرداختند (Asghari & Ahmadi, 2018).

سینایی و همکاران (2014) با استفاده از رویکرد خوشبندی C-میانگین مبتنی بر معیار فاصله مجنور اقلیدسی به رتبه‌بندی صندوق‌های سرمایه‌گذاری پرداختند. آن‌ها برای شناسایی متغیرهایی که بیشترین تأثیر را در خوشبندی دارند از رویکرد ANOVA استفاده نمودند (Sinaei et al., 2014). فرید و پورحمیدی (2012) به طبقه‌بندی 338 سهام شرکت‌های منتخب در قالب 3 خوشة معین با استفاده از تحلیل خوشبندی فازی C-میانگین (FCM) پرداختند (Farid & Pourhamidi, 2012). برخی پژوهشگران نیز از روش خوشبندی برای تشکیل پرتفوی استفاده کردند (Rahmani Asl et al., 2021; Sinaei et al., 2016).

در داخل کشور، رویکردهایی نیز برای بهبود الگوریتم خوشبندی فازی معرفی شده که عملکرد آن‌ها عمدتاً برای داده‌های مصنوعی ارزیابی شده است. فرنام و درمیرکی (2023) به معرفی یک الگوریتم FCM بهبودیافته مبتنی بر یک معیار فاصله پارامتری جدید برای داده‌های فازی پارامتری پرداختند (Farnam & Darehmiraki, 2023). رفیعی و مرادی (2016) به معرفی یک الگوریتم C-میانگین فازی بهبودیافته با وزن‌دهی اتوماتیک و وزن‌دهی محلى ویژگی‌ها پرداختند. علاوه، این محققین از معیار شباهت غیراقلیدسی که اثر نویز در داده‌ها را کاهش می‌دهد استفاده کردند (Rafiei & Moradi, 2016).

¹¹ Robust Metric

¹² Dynamic Time Structuring

¹³ Fuzzy C-means Hybrid Clustering

¹⁴ Evidential c-Medoids Clustering

نوآوری پژوهش حاضر در مقایسه با مطالعات داخلی، بکار گرفتن الگوریتم C- مدovid فازی است که برای نخستین بار از سریزهای نوسانات جهت‌دار بین سهام شرکت‌ها برای خوشنودی سری‌های زمانی استفاده می‌کند. همچنین برخلاف مطالعه رفیعی و مرادی (2016) که تابع هدف را بهصورت موزون در نظر گرفته‌اند (Rafiei & Moradi, 2016)، در پژوهش حاضر به خود فاصله اقلیدسی، وزن داده شده است. بعلاوه، برخلاف فرنام و درهمیرکی (1401) که با معرفی یک متر جدید به دنبال کاهش اثر منفی داده‌های پرت بوده‌اند در پژوهش حاضر از تبیل نمایی فاصله اقلیدسی وزن‌دار استفاده شده است (Farnam & Darehmiraki, 2023). در پایان، برخلاف همه مطالعات فوق، در پژوهش حاضر برای تعیین تعداد بهینه خوش‌ها و ارزیابی مدل‌ها، از شاخص ژیبنی (Xie & Beni (1991) استفاده شده است.

-3 روش‌شناسی پژوهش

-3-1 اندازه‌گیری سریزهای نوسانات جهت‌دار و عدم مشابهت

-3-1-1 اندازه‌گیری سریزها
دیبولد و پیلماز (2009) پیشنهاد کردند که در یک فرآیند خودگرسیو برداری (VAR)، شاخص‌های سریز را می‌توان بر حسب تجزیه واریانس خطای پیش‌بینی تعمیم‌یافته (GFEVD) محاسبه کرد (i = 1, ..., N) یک فرآیند VAR(P) بهای مانع متغیره (Pesaran & Shin, 1998) کواریانس مانا (P = 1, ..., N) بهصورت زیر:

$$x_t = \sum_{p=1}^P \Phi_p x_{t-p} + \varepsilon_t, \quad t = 1, \dots, T \quad (1)$$

که Φ_p ماتریس پارامترها از بعد N × N در وقفه آم است و $(\sum_{t=1}^T \varepsilon_t)^2$ بردار جملات خطای با توزیع i.i.d می‌باشد. از آنجاییکه برای اندازه‌گیری سریزهای نوسانات، سری زمانی x_t می‌باشد شامل یک پراکسی از ریسک سهام نیز شود، به پیروی از پارکینسون (1980)، واریانس آمن سهام بهصورت زیر محاسبه می‌شود (Parkinson, 1980)

$$\sigma_{it}^2 = \frac{1}{4 \ln 2} \left[\ln \left(\frac{P_{it}^{\max}}{P_{it}^{\min}} \right) \right]^2 \quad (2)$$

که P_{it}^{\min} و P_{it}^{\max} قیمت‌های ماکزیمم و مینیمم در روز معاملاتی t هستند. فرآیند VAR(1) کواریانس مانا را می‌توان بر حسب فرآیند میانگین متحرک برداری (VMA) نیز نوشت:

$$x_t = \sum_{p=0}^{\infty} A_p \varepsilon_{t-p} \quad (3)$$

که ماتریس ضرایب A_p از بعد N × N بوده و از رابطه‌بازگشته $A_p = \sum_{s=1}^p A_{p-s} \Phi_s$ پیروی می‌کند؛ ضرایب میانگین متحرک مهمترین مؤلفه برای محاسبه شاخص‌های سریز هستند.

برای محاسبه شاخص‌های سریز، دیبولد و پیلماز (2012) رویکرد تجزیه واریانس خطای پیش‌بینی تعمیم‌یافته H-گام به جلو¹⁵ (GFEVD) را پیشنهاد کردند (Pesaran & Shin, 1998) که نشان‌دهنده کسری از واریانس خطای H-گام به جلو (H = 1, ..., h) در پیش‌بینی سهام آم است که به علت بروز شوک به سهام زام می‌باشد (j ≠ i). پس، GFEVD مربوط به آمن سهام- به علت بروز شوک به سهام زام- را می‌توان بهصورت زیر محاسبه نمود:

¹⁵ H-step ahead Generalized Forecast Error Variance Decomposition

$$\theta_{ij}^g(H) = \frac{\sigma_{jj}^{-1} \sum_{h=0}^{H-1} (e_i' A_h \sum e_j)^2}{\sum_{h=0}^{H-1} (e_i' A_h \sum A_h' e_i)} \quad (4)$$

که θ_{ij}^g ، تجزیه واریانس خطای پیش بینی تعیین می باشد - H-گام به جلو است؛ \sum ، ماتریس واریانس بردار خطای e_t است، σ_{jj} ، انحراف معیار جمله خطای معادله زام - ناشی از سهام زام - در فرآیند VAR است؛ e_i برداری انتخابی است که برای آمین درایه مقدار یک می گیرد و مقدار صفر را برای مابقی درایه ها اختیار می کند. در این رویکرد نتایج تجزیه های واریانس خطای پیش بینی، دیگر متاثر از رتبه بندی متغیرها در سیستم نخواهد بود (Pesaran & Shin, 1998). بمنظور بهره برداری از اطلاعات موجود در ماتریس تجزیه واریانس برای محاسبه شاخص سرریز نوسانات، هر درایه $\theta_{ij}^g(H)$ از ماتریس تجزیه واریانس خطای پیش بینی در طول هر سطر از این ماتریس، نرمال می شود:

$$\tilde{\theta}_{ij}^g(H) = \frac{\theta_{ij}^g(H)}{\sum_{j=1}^N \theta_{ij}^g(H)} \quad (5)$$

در اینصورت حواهیم داشت $1 = \sum_{j=1}^N \tilde{\theta}_{ij}^g(H) = N$ و $\sum_{i,j=1}^N \tilde{\theta}_{ij}^g(H)$ از روابط فوق می توان شاخص سرریز نوسانات کل را بر اساس سهم سرریز های نوسانات از سوی همه سهم ها (رابطه (5)) به کل واریانس خطای پیش بینی، تعریف نمود:

$$S^g(H) = \frac{\sum_{i,j=1}^N \tilde{\theta}_{ij}^g(H)}{N} \times 100 \quad (6)$$

اندازه گیری مقدار کل سرریز ها درون یک بازار مالی (با بین بازار های مالی) نمی تواند برای اهداف خوشبندی مفید واقع شود. از انگلیسی که، هر سهم خاص در یک بازار هم می تواند دهنده سرریز به سوی سایر سهم ها باشد و هم دریافت کننده سرریز از سوی آن است؛ در رویکردهای خوشبندی، علاوه بر اندازه سرریز ها، اینکه سرریز ها در چه جهتی سرایت می کنند نیز موردن توجه قرار دارد. شاخص های سرریز جهت دار این امکان را فراهم می کنند تا میزان سرریز نوسانات دریافت شده (داده شده) توسط سهم ام از سوی (به سوی) سایر سهم ها در سیستم به صورت زیر اندازه گیری شود:

$$S_{i \rightarrow}^g(H) = \frac{\sum_{j=1}^N \tilde{\theta}_{ij}^g(H)}{N} \times 100 \quad (7)$$

برای اندازه گیری سرریز های نوسانات که سهام زام از سوی سایرین دریافت می کند، و:

$$S_{\rightarrow i}^g(H) = \frac{\sum_{j=1}^N \tilde{\theta}_{ji}^g(H)}{N} \times 100 \quad (8)$$

برای اندازه گیری سرریز های جهت دار تولید شده توسط سهم ام به سوی سایر سهم ها. بر این اساس، رابطه (7) سرریز "از سوی" و رابطه (8) سرریز "به سوی" تعریف می شوند.

2-3-1-2. معیار عدم مشابهت بر اساس سرریز های وزنی

در این پژوهش، عدم مشابهت بین سهم ها با توجه به توانایی آن ها در تولید و دریافت سرریز های ریسک، محاسبه می شود. بنابراین، یک رویکرد بدیهی برای اندازه گیری عدم مشابهت بین دو سهم A و Z، می تواند بر اساس فاصله های زیر باشد:

$$From d_{ii'}^2 = \quad (9)$$

$$\left[S_{i \rightarrow}^g(H) - S_{i' \rightarrow}^g(H) \right]^2 = \frac{\left[\sum_{j=1}^N \tilde{\theta}_{ij}^g(H) - \sum_{j=1}^N \tilde{\theta}_{i'j}^g(H) \right]^2}{N^2}$$

این فاصله بر حسب سرریز "از سوی" در رابطه (7) محاسبه می‌شود و:

$$to d_{ii'}^2 = \quad (10)$$

$$\left[S_{\rightarrow i}^g(H) - S_{\rightarrow i'}^g(H) \right]^2 = \frac{\left[\sum_{j=1}^N \tilde{\theta}_{ji}^g(H) - \sum_{j=1}^N \tilde{\theta}_{ji'}^g(H) \right]^2}{N^2}$$

این فاصله بر حسب سرریز "به سوی" در رابطه (8) محاسبه می‌شود. درواقع، در پژوهش حاضر از این واقعیت استفاده می‌شود که سهم‌ها در یک بازار مفروض را می‌توان بر حسب هر دوی اندازه و جهت سرریزها (رابطه (7) و (8))، متمایز نمود. علت این است که سهم‌هایی کوچک در بازار می‌تواند وجود داشته باشد که مقدار بسیاری سرریز از سوی سایرین دریافت می‌کند در حالی‌که مقدار اندکی سرریز به سوی آن‌ها می‌دهند؛ به همین صورت، تعداد زیادی سهام در بازار می‌تواند وجود داشته باشد که مقدار زیادی سرریز تولید می‌کند در حالی‌که مقدار اندکی سرریز از سایرین دریافت می‌کند. به‌حال در بازارهای واقعی، تمیز بین دهنده و گیرنده اسان نیست زیرا همه سهم‌ها همزمان تولیدکننده و دریافتکننده ولی با شدت‌های مختلف، هستند.

از این‌رو، برای محاسبه یک معیار عدم مشابهت مناسب می‌باید هر دو معیار فاصله (9) و (10) همزمان با هم در نظر گرفته شوند. اما از آنجایی‌که بسته به بازار خاص موردمطالعه، یکی از این دو بعد سرریز می‌تواند از اهمیت بیشتری برای خوشبندی برخوردار باشد اعمال مجموعه‌ای مقاومت از وزن‌ها بین سرریزهای "از سوی" و "به سوی"، موردنیاز می‌باشد. براین اساس، یک فاصله اقلیدسی مربعی وزن‌دار مشتمل بر یک سیستم وزن‌دهی مناسب برای هر دو مؤلفه سرریز، در نظر گرفته می‌شود (D'Urso et al., 2016):

$$d_{ii'}^2(H) = \omega_1^2 From d_{ii'}^2(H) + \omega_2^2 To d_{ii'}^2(H) \quad (11)$$

که $d_{ii'}^2(H)$ فاصله اقلیدسی مربعی وزن‌دار است؛ $From d_{ii'}^2(H)$ ، فاصله اقلیدسی مربعی بر حسب سرریز "از سوی" (9) و $To d_{ii'}^2(H)$ ، بر حسب سرریز "به سوی" (10) را مشخص می‌کند؛ ω_1 و ω_2 عبارتند از وزن‌های مربوط به مؤلفه‌های سرریز "از سوی" و "به سوی". در اینجا فرض می‌شود $\omega_1 + \omega_2 = 1$ و $\omega_1, \omega_2 \geq 0$.

اصولاً، وزن‌های ω_1 و ω_2 را می‌توان بهصورت ذهنی یا بهطور عینی تعیین نمود. برخلاف رویکرد ذهنی که وزن‌ها با توجه به نظرات ذهنی یا نظرات متخصص تعیین می‌شوند، در رویکرد عینی، وزن‌ها در طی اجرای یک الگوریتم خوشبندی مناسب، انتخاب می‌شوند. براین اساس در این پژوهش، با استفاده از سیستم وزن‌دهی عینی اجزه داده می‌شود تا داده‌ها خود مناسب‌ترین مجموعه وزن‌ها را تعیین کنند.

متاسفانه ممکن است فاصله اقلیدسی مربعی (11) در شرایط وجود داده‌های نویزی یا مقادیر پرت، از قوت آماری برخوردار نباشد (D'Urso et al., 2021; D'Urso et al., 2023; Wu & Yang, 2002). وجود مقادیر پرت در شاخص‌های سرریز امکان‌پذیر است.

به همین خاطر، وو و یانگ (2002) و دی ارسو و همکاران (2016)، یک روش خوشبندی استوار بر مبنای تبدیل نمایی از عدم مشابهت، پیشنهاد کردند (D'Urso et al., 2016; Wu & Yang, 2002)

$$\exp d_{ii'}^2(H) = 1 - \exp[-\beta d_{ii'}^2(H)] \quad (12)$$

بهطوری که β یک مقدار ثابت مثبت است و $d_{ii'}^2(H)$ معیار عدم مشابهت سرریز وزنی از رابطه (11) است. ازنظر مفهومی، در تبدیل نمایی از معیار فاصله، وزن های کوچکتر به اشیائی اختصاص داده می شود که در مجموعه داده ها، نویزی هستند. مقدار β مطابق با رویکرد پیشنهادی وو و یانگ (2002) محاسبه می شود (Wu & Yang, 2002).

3-2 مدل های خوشبندی فازی

مدل های خوشبندی فازی مورداستفاده در این پژوهش بر بنای معیار عدم مشابهت وزنی 3-1- (11) و تبدیل نمایی آن (12) قرار دارند. بین منظور، در ابتدا معیار های سرریز جهت دار (7) و (8) برای هر سهم N محاسبه می شود که داده های ورودی روش خوشبندی محاسبه می شوند. این داده های ورودی را می توان به صورت یک ماتریس $S = \{S_i = [S_{i \rightarrow 1}^g(H), S_{i \rightarrow 2}^g(H), \dots, S_{i \rightarrow N}^g(H)]\}, i = 1, \dots, N$ نماینده آنها را از $N \times 2$ نمایش داد.

$$S = \begin{bmatrix} S_{1 \rightarrow 1}^g(H) & S_{1 \rightarrow 2}^g(H) \\ \vdots & \vdots \\ S_{i \rightarrow 1}^g(H) & S_{i \rightarrow 2}^g(H) \\ \vdots & \vdots \\ S_{N \rightarrow 1}^g(H) & S_{N \rightarrow 2}^g(H) \end{bmatrix} \quad (13)$$

ستون ها، معیار های سرریز "از سوی" (7) و "بسوی" (8) مربوط به N سهم هستند. در این پژوهش، دو رویکرد PAM در نظر گرفته می شود که در آن ها نمونه نماینده هر خوشه¹⁶، بانام مدوید، همان سهام واقعی است نه "شیاء مجازی". این ویژگی قابلیت تفسیر خوشه ها و نماینده آنها را امکان پذیر می سازد.

3-2-1 رویکرد C-مدویدهای فازی مبتنی بر سرریز نوسانات (VS-FCMdd)

با داشتن ماتریس S و معیار عدم مشابهت (11)، واحد ها را می توان با استفاده از رویکرد VS-FCMdd که بر پایه مستله کمینه سازی مربعی مقید قرار دارد، خوشبندی نمود:

$$\min: f_{VS-FCMdd}(S, U, \omega_1, \omega_2) = \sum_{I=1}^N \sum_{c=1}^C u_{ic}^m d_{ic}^2(H) \quad (14)$$

با قیود:

$$\sum_{c=1}^C u_{ic} = 1, \quad \omega_1, \omega_2 \geq 0, \quad \omega_1 + \omega_2 = 1 \quad (15)$$

که در آن U ماتریس درجه عضویت است؛ پارامتر $m \geq 1$ فازی بودن خوشه ها را کنترل می کند؛ $d_{ic}^2(H)$ عدم مشابهت وزنی بین زمین و این واحد و مدوید خوشة C است. منظور از درجه عضویت u_{ic} درجه عضویت آمین واحد در خوشة C است. اگر $m = 1$ باشد، از (14) به رویکرد PAM غیر فازی (کلاسیک) تبدیل می شود، که سهام i متعلق به خوشه C با عضویت باینری $\{0, 1\}$ ، $u_{ic} = \{0, 1\}$ است؛ جواب های بینه مستله برای درجه عضویت عبارت اند از:

¹⁶ Prototypes of each Cluster

$$u_{ic} = \frac{1}{\sum_{c=1}^C \left[\frac{\omega_1^2 From d_{ic}^2(H) + \omega_2^2 To d_{ic}^2(H)}{\omega_1^2 From d_{ic}^2(H) + \omega_2^2 To d_{ic}^2(H)} \right]^{1/(m-1)}} \quad (16)$$

و برای وزن‌ها:

$$\omega_1 = \frac{\sum_{i=1}^N \sum_{c=1}^C u_{ic}^m To d_{ic}^2(H)}{\sum_{i=1}^N \sum_{c=1}^C u_{ic}^m [From d_{ic}^2(H) + To d_{ic}^2(H)]} \quad (17)$$

$$\omega_2 = \frac{\sum_{i=1}^N \sum_{c=1}^C u_{ic}^m From d_{ic}^2(H)}{\sum_{i=1}^N \sum_{c=1}^C u_{ic}^m [From d_{ic}^2(H) + To d_{ic}^2(H)]} \quad (18)$$

جواب‌های بهینه با استفاده از روش ضرایب لاگرانژ بدست آمده‌اند. واضح است که رابطه (16) به دو رابطه (17) و (18) بستگی دارد و بر عکس؛ بنابراین، برای یافتن رامحل‌ها، یک الگوریتم تکراری موردنیاز است؛ بطوریکه در هر تکرار، میزان عضویت و نیز مدویدهای خوش‌ها تغییر می‌کنند. ثابت این روابط در مقاله‌ی ارسو و همکاران (2016) شرح داده شده است (D'Urso et al., 2016). مرحله موردنیاز برای اجرای الگوریتم VS-FCMdd به شرح جدول 1 است (Cerqueti et al., 2023).

جدول 1. الگوریتم خوشبندی VS-FCMdd
(Cerqueti et al., 2023)
ماخذ:

Table 1. Clustering Algorithm VS-FCMdd
Source: (Cerqueti et al., 2023)

مرحله 0: تخمین شاخص‌های سرریز جهت‌دار مطابق رابطه‌های (7) و (8)، مقداردهی اوایه برای تعداد خوش‌ها C برای مکرزم تعداد تکرار $max.\text{iter}$ و برای توان درجه عضویت (میزان فازی بوند) m . تولید اتصادی ماتریس درجه عضویت U محدودیت (15) و متعاقباً انتخاب تعداد C مدوید از ماتریس داده‌ها S و تشکیل ماتریس H با تراشه‌های s_c برای $c = 1, \dots, C$.

مرحله 1: محاسبه وزن‌های w مطابق روابط (17) و (18) از روی ماتریس‌های U و H که در تکرار قبل بدست آمده‌اند.

مرحله 2: پیروزرسانی ماتریس مدوید H : برای $c = 1, \dots, C$

$$q = \operatorname{argmin}_{1 \leq i \leq N} \sum_{i'=1}^N u_{i'c}^m [\omega_1^2 From d_{i'i}^2(H) + \omega_2^2 To d_{i'i}^2(H)]$$

قرار می‌دهیم $s_q = s_c$. پیروزرسانی ماتریس U مطابق رابطه (16) از روی ماتریس پیروزرسانی شده H (مرحله 2) و وزن‌های w (مرحله 1).

مرحله 3: اگر تعداد تکرار برابر $max.\text{iter}$ شود الگوریتم خاتمه می‌یابد، در غیر اینصورت برو به مرحله 1.

-3-2-2 - رویکرد C -مدویدهای فازی نمایی مبتنی بر سرریز نوسانات (VS-E-FCMdd):
روش خوشبندی استوار VS-E-FCMdd، از حل مسئله کمینه‌سازی زیر بدست می‌آید:

$$\min: \mathcal{F}_{VS-E-FCMdd}(S, U, \omega_1, \omega_2) = \sum_{i=1}^N \sum_{c=1}^C u_{ic}^m \exp d_{ic}^2(H) \quad (19)$$

با قیود:

$$\sum_{c=1}^C u_{ic} = 1, \quad \omega_1, \omega_2 \geq 0, \quad \omega_1 + \omega_2 = 1 \quad (20)$$

در این مورد $\exp d_{ic}^2(H)$ عدم مشابهت وزنی بین واحد آم و مدوید خوشة C ام تعریف می شود. چنانچه داشته باشیم $m = 1$ و $\omega_1 = \omega_2 = 0/5$ رابطه (19) به PAM غیر فازی تحت عدم مشابهت نمایی، تبدیل می شود (Wu & Yang, 2002). رامحل بینه برای درجه عضویت مربوط به مسئله (19) با استفاده از روش ضرایب لاگرانژ به دست می آید (D'Urso et al., 2016):

$$u_{ic} = \frac{1}{\sum_{c=1}^C \left[\frac{1 - \exp \{-\beta [\omega_1^2 \text{From}_{ic} d_{ic}^2(H) + \omega_2^2 \text{To}_{ic} d_{ic}^2(H)]\}}{1 - \exp \{-\beta [\omega_1^2 \text{From}_{ic} d_{ic}^2(H) + \omega_2^2 \text{To}_{ic} d_{ic}^2(H)]\}} \right]^{1/(m-1)}} \quad (21)$$

$$\omega_1 = \frac{\sum_{i=1}^N \sum_{c=1}^C u_{ic}^m \text{To}_{ic} d_{ic}^2(H) [1 - \exp d_{ic}^2(H)]}{\sum_{i=1}^N \sum_{c=1}^C u_{ic}^m [\text{From}_{ic} d_{ic}^2(H) + \text{To}_{ic} d_{ic}^2(H)] [1 - \exp d_{ic}^2(H)]} \quad (22)$$

$$\omega_2 = \frac{\sum_{i=1}^N \sum_{c=1}^C u_{ic}^m \text{From}_{ic} d_{ic}^2(H) [1 - \exp d_{ic}^2(H)]}{\sum_{i=1}^N \sum_{c=1}^C u_{ic}^m [\text{From}_{ic} d_{ic}^2(H) + \text{To}_{ic} d_{ic}^2(H)] [1 - \exp d_{ic}^2(H)]} \quad (23)$$

همچنین رامحل ها به طور تکراری به دست می آیند. الگوریتم مورداستفاده برای اجرای روش خوشبندی استوار به شرح **جدول 2** است.

β نیز بر طبق رویکرد پیشنهادی وو و یانگ (2002) به صورت زیر محاسبه می شود:

$$\begin{aligned} \beta &= \left[\frac{\sum_{i=1}^N d^2(X_{i\rightarrow} \bar{X}_q)}{N} \right]^{-1} = \\ &= \left[\frac{\sum_{i=1}^N \omega^2 \text{From}_{ii} d_{ii}^2(H) - (1-\omega)^2 \text{To}_{ii} d_{ii}^2(H)}{N} \right]^{-1} \\ &= \left[\frac{\sum_{i=1}^N \omega^2 [S_{i\rightarrow}^g(H) - \tilde{S}_{q\rightarrow}^g(H)]^2 - (1-\omega)^2 [S_{\rightarrow i}^g(H) - \tilde{S}_{\rightarrow q}^g(H)]^2}{N} \right]^{-1} \end{aligned} \quad (24)$$

بطوریکه

$$\tilde{X}_q = \left(\tilde{S}_{q \rightarrow}^g(H), \tilde{S}_{\rightarrow q}^g(H) \right) : \quad (25)$$

$$q = \operatorname{argmin}_{1 \leq i \leq N} \sum_{i=1}^N d^2(X_i, \tilde{X}_i')$$

$(\tilde{S}_{q \rightarrow}^g(H), \tilde{S}_{\rightarrow q}^g(H))$ ، مذوید واحد q است که نزدیکترین فاصله را با سایرین دارد (Wu & Yang, 2002). بر این اساس، معیار عدم مشابهت نمایی (12) ۳-۱-۱-۳ وزن‌های بالاتر را به فاصله‌های پایین (بالا) که داده‌ها تغییرپذیری زیاد (کم) دارند، اختصاص می‌دهد.

جدول 2. الگوریتم خوشبندی VS-E-FCMdd
(Cerqueti et al., 2023)
مأخذ:

Table 2. Clustering Algorithm VS-E-FCMdd
Source: (Cerqueti et al., 2023)

مرحله ۰: تخمین شاخص‌های سریز جهتدار در رابطه‌های (7) و (8)(8)، مقادیردهی اولیه برای تعداد خوشها C ، مکاریم تعداد تکرار max iter، نوان درجه عضویت m و محاسبه مقدار β . تولید تصادفی ماتریس درجه عضویت U مشروط به محدودیت (20) و متعاقباً انتخاب تعداد C مذوید از ماتریس داده‌ها S و تشکیل ماتریس H با درایه‌های S_C مربوط به مذوید در خوشة C ام.

مرحله ۱: محاسبه وزن‌های W مطابق روابط (22) و (23) از روی ماتریس‌های U و H که در تکرار قبل به نست آمدند.

مرحله ۲: بهروزرسانی ماتریس مذوید H : برای $C = 1, \dots, C$.

$$q = \operatorname{argmin}_{1 \leq i' \leq N} \sum_{i'=1}^N u_{i'c}^m \left\{ 1 - \exp \left[-\beta \left(\omega_1^2 \text{From} d_{i'i}^2(H) + \omega_2^2 T_0 d_{i'i}^2(H) \right) \right] \right\}$$

قرار می‌دهیم $s_c = s_c$. بهروزرسانی ماتریس U مطابق رابطه (21) از روی ماتریس بهروزرسانی شده H (مرحله ۲) و وزن‌های w (مرحله ۱).

مرحله ۳: اگر تعداد تکرار برابر max iter شود الگوریتم خاتمه می‌یابد، در غیراینصورت برو به مرحله ۱.

4- یافته‌های پژوهش

4-1 خوشبندی سری‌های زمانی بورس تهران

چارچوب نظری معرفی شده، برای خوشبندی سری‌های زمانی بورس تهران، بکار برده می‌شود. جامعه اماری در نظر گرفته شده شامل کلیه شرکت‌های پنیرفته شده در بورس تهران است. مجموعه نمونه، شامل سهام شرکت‌هایی می‌شود که سری زمانی روزانه کاملی را طی بازه ۱۳۸۷/۶/۵ تا ۱۴۰۲/۶/۵ تا ۱۴۰۲/۶/۱۵ مشاهده کنند. انتخاب شرکت‌ها به کوئنهای است که تا حد امکان اکثر صنایع فعل در بورس تهران را پوشش دهد. اما سری زمانی هیچ‌کدام از شرکت‌ها از اندازه یکسانی برخوردار نیست زیرا مشاهدات از تاریخ یکسانی شروع نمی‌شود و بنابراین اطلاعات برخی سری‌های زمانی تنها برای دوره زمانی کوتاه‌تری موجود است. همان‌طور که دی ارسو و همکاران (2016) نشان داده‌اند طبقه‌بندی سری‌های زمانی با اندازه‌های متفاوت هم امکان‌پذیر است چراکه مدل‌سازی سری‌های زمانی در یک چارچوب پارامتریک (فرائیند VAR) انجام می‌شود (D'Urso et al., 2016). بهاین ترتیب، از بین شرکت‌هایی که بیشترین تعداد مشاهدات را طی بازه زمانی مذکور تشکیل می‌دهند تعداد 30 = N سهام که متعلق به 27 صنعت است، به عنوان نمونه آماری انتخاب گردید¹⁷ (Error! Reference source not found.0).

داده‌های مورد نیاز از نرم‌افزار رهآوردنویں ۳ استخراج و کلیه تجزیه‌وتحلیل‌ها باستفاده از نرم‌افزارهای RStudio و MATLAB انجام شده‌اند.

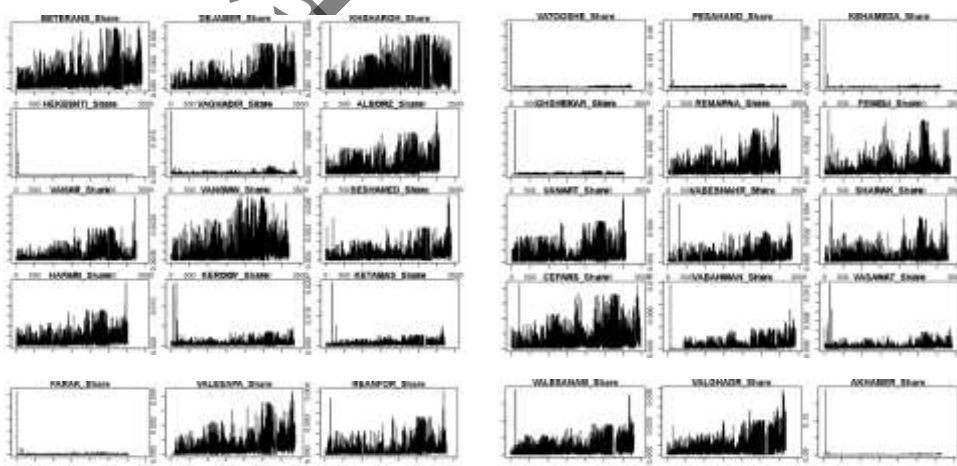
¹⁷ به دلیل بالا رفتن تعداد صفحات، امکان بررسی همه شرکت‌ها و ارائه گزارش برای همه آن‌ها وجود نداشت. ر.ب. به (Cerqueti et al., 2023; D'Urso et al., 2015)

جدول 3. اسامی صنایع و نماد شرکت های منتخب
مأخذ: نتایج پژوهش

Table 3. Name of selected industries and symbols of selected companies
Source: Research results

نام شرکت	نام صنعت	نام شرکت	نام صنعت
واسطه‌گری و پولی	واسطه‌گری های مالی و پولی	واسطه‌گری های مالی و پولی	واسطه‌گری های مالی و پولی
و لصنم	واغنر	واغنر	واغنر
و سلپا	اکابر	اکابر	اکابر
راونور	فاراک	فاراک	محصولات فلزی
بنرانس	وتشه	وتشه	ماشین آلات و تجهیزات
دجبر	پسهند	پسهند	لاسیلیک و پلاستیک
خرسق	کوهدا	کوهدا	کافی غیر فازی
حکمتی	فشنکر	فشنکر	قند و شکر
وغیر	رمینا	رمینا	فنی و مهندسی
البرز	فلی	فلی	فازات اساسی
وکار	وقت	وقت	فر اورده های نفتی
ونون	ویشور	ویشور	غذایی بجز قند و شکر
نشاهد	شاراک	شاراک	شیمیابی
حفاری	سفارس	سفارس	سیمان آهک گچ
کروی	و بهمن	و بهمن	سرمایه‌گذاری ها
کطبس			

(2) تخمین های بدست آمده برای نوسانات سهام شرکت ها در **شکل 1** به تصویر کشیده شده است. آماره های توصیفی شامل میانگین و واریانس لگاریتم قیمت های روزانه ماکزیمم و مینیمم و همچنین متوسط مقدار نوسانات که از رابطه (2) بر حسب درصد بدست آمده اند، در **جدول 4** گزارش شده است. ملاحظه می شود که سهام "پسهند" و "حکمتی" بیشترین مقدار نوسانات و سهام "فلی" و "وغیر" پایین ترین متوسط مقدار نوسانات را طی دوره زمانی پژوهش دارا هستند. هر چند که اکثر سهمها مقادیر نوسانات متوسط مشابهی را نشان می دهند، اما هدف اصلی در این پژوهش خوشبندی مجموعه داده ها بر اساس مقادیر مختلف سرریز های نوسانات "از سوی" و "به سوی" سهم ها است.



شکل 1. سری‌های زمانی نوسانات تخمین زده شده سهام شرکت‌های منتخب
 مأخذ: رابطه (2) و نتایج پژوهش

Figure 1. Estimated volatility time series of stocks of selected companies
 Source: Research results from (2)

همان‌گونه که دیبولد و بیلماز (2012) نشان داده‌اند شاخص‌های سرریز چندان تحت تأثیر انتخاب مرتبه P در مدل VAR و انتخاب افق H -گام به جلو برای محاسبه GFEVD قرار نمی‌گیرند (Diebold & Yilmaz, 2012). این محققین، افق $H = 10$ را در پژوهش خود پیشنهاد کردند. براین اساس و در این پژوهش بر طبق معیار اطلاعات آکاییک (AIC)، وقفه بهینه $P = 5$ انتخاب می‌شود. سپس، تخمین‌های دو شاخص سرریز نوسانات "از سوی" و "به‌سوی" بر حسب درصد، در جدول 5 نشان داده می‌شود.

از جدول 5، ملاحظه می‌شود که سهام "حکمتی" و "قشر" به دلیل داشتن بهترین مقادیر بسیار بزرگ و مقدار کوچک از هر دو معیار سرریز، پرست محسوب می‌شوند.

جدول 4. آمارهای توصیفی قیمت سهام شرکت‌های منتخب

مأخذ: نتایج پژوهش

Table 4. Descriptive Statistics of log prices of stocks of selected companies
 Source: Research results

میانگین نوسانات (%)	مینیمم قیمت		ماکزیمم قیمت		تعداد مشاهدات
	انحراف معیار	میانگین	انحراف معیار	میانگین	
0/0719	0/8589	6/6794	0/8651	6/717	3458
0/0783	1/1438	6/5437	1/1505	6/5836	3415
0/0503	1/1526	7/2821	1/1598	7/3113	3413
0/0739	0/6143	6/7039	0/6169	6/7421	3405
0/0661	1/8153	6/0013	1/8247	6/0363	3392
0/0812	1/5388	7/9793	1/5442	8/0195	3383
0/0657	1/3170	6/3557	1/3241	6/3902	3378
0/0769	1/3221	5/9539	1/3254	5/9919	3369
0/0550	1/4599	7/2058	1/4686	7/2392	3358
0/0402	1/0161	6/5504	1/0185	6/5787	3334
0/0668	1/0731	6/6238	1/0806	6/6602	3316
0/0589	1/0365	7/0711	1/0452	7/1043	3309
0/0440	1/5600	7/6496	1/5665	7/6791	3304
0/0589	1/4385	7/2273	1/4456	7/2616	3244
0/0608	1/3293	5/7508	1/3398	5/7826	3226
0/0537	0/9628	5/8402	0/9702	5/8731	3211
0/0582	0/4886	6/7414	0/4962	6/7759	3191
0/0468	1/6218	6/5623	1/6298	6/5911	3179
0/0574	0/7207	6/5736	0/7258	6/6079	3170
0/0541	1/4687	7/2531	1/4791	7/2829	3163
0/0712	1/0178	7/3611	1/0250	7/3972	3063
0/0797	1/1842	7/1661	1/1921	7/1967	3181
0/0431	1/3868	7/0908	1/3909	7/1208	3026
0/0635	1/3677	5/2877	1/3742	5/3237	3418
0/0489	0/7962	6/3990	0/7989	6/4289	3003
0/0544	0/8141	6/9515	0/8224	6/9831	3296
0/0608	1/3638	7/1919	1/3681	7/2267	3120
0/0653	0/9026	7/2120	0/9097	7/2491	3040
0/0656	1/2282	6/4613	1/2323	6/4982	3019
0/0740	1/5377	7/1775	1/5472	7/2151	3073

شکل 2، نتایج جدول 5 را بر حسب مقادیر استاندارد شده، به تصویر می کشد: سهامی که مقادیر (استاندارد شده) سرریز بالای صفر دارد، سرریز را بیشتر از متوسط، به دیگران می دهد (دریافت می کند)؛ در حالیکه سهامی با مقادیر (استاندارد شده) سرریز کمتر از صفر، سرریز را کمتر از مقدار متوسط، به دیگر سهم ها می دهد (دریافت می کند). با نگاه به شکل 2 از سمت محور X (سرریز "از سوی")، تفاوت بین سهام شرکت ها بیشتر نمایان می شود؛ سهام "حکشتی"، "خبر" و "کهتما" دورتر از سایر سهم ها و در گوش سمت راست و بالای نمودار تنها قرار گرفته اند. واضح است که این سهم ها واحدهای پرت محسوب می شوند. به هر حال بده می شود که سهام شرکت "قشکر" با داشتن مقادیر خیلی کوچک برای هر دو معیار سرریز "از سوی" و سرریز "به سوی"، در گوش سمت چپ و پایین نمودار تنها قرار گرفته است. در واقع، این شرکت هم می تواند یک کاندید برای واحد پرت محسوب شود اما پر بودن سه سهام منکر مشهودتر است.

در این پژوهش به علت وجود سهام کاندید به عنوان واحد پرت، عملکرد دو مدل VS-FCMdd و VS-E-FCMdd در فرآیند خوشبندی فازی مقایسه می گردد. برای انتخاب تعداد بهینه خوشبندی از شاخص ژی-بنی استفاده می شود (Xie & Beni, 1991)؛ به این صورت که دو الگوریتم خوشبندی به ازای مقادیر $\{2, 3, 4, 5\}$ و $m = 1/5$ و $C = \{2, 3, 4, 5\}$ اجرا و شاخص ژی-بنی محاسبه می شود. بر طبق نتایج در شکل 3، مقدار شاخص ژی-بنی تحت هر دوی این مدل ها در $C = 2$ مینیمم می شود. لازم به ذکر است که مقدار این شاخص در $C = 5$ و برای مدل VS-FCMdd، بینهایت بدست آمده است. همچین، مدل VS-FCMdd وزن های $\omega_1 = 0/30$ و $\omega_2 = 0/70$ و مدل استوار VS-E-FCMdd وزن های $\omega_1 = 0/82$ و $\omega_2 = 0/18$ را به معیار عدم مشابهت (11)، اختصاص می دهد.

در جدول 6 نتایج حاصل برای متوجه های هر خوش بندی برای واحد های پرت مشاهده می شود؛ یک تفاوت قابل توجه در نتایج به دست آمده از دو مدل خوشبندی برای واحد های پرت مشاهده می شود؛ درجه عضویت حاصل شده از مدل VS-E-FCMdd در مقایسه با مدل VS-FCMdd برای همه سهم ها و در هر دو خوش بندی کوچکتر است. بالاخص، مدل VS-FCMdd، دو سهام "حکشتی" و "خبر" را به خوش بندی 2، به ترتیب با درجه عضویت $0/5842$ و $0/6121$ و سهام "کهتما" را به خوش بندی 1 با درجه عضویت $0/6453$

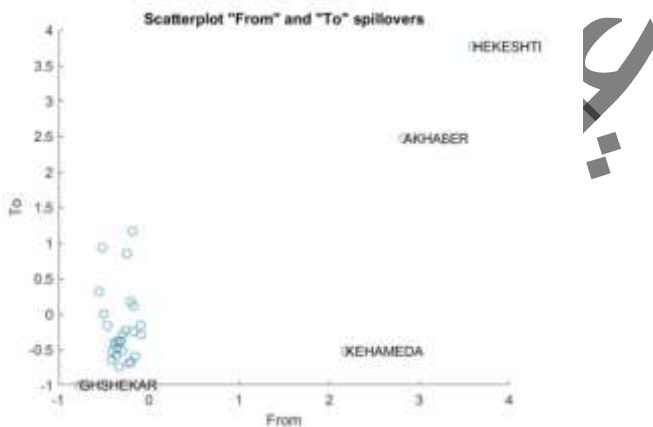
جدول 5. تخمین سری های نوسانات جهت دار: "از سوی" و "بسوی" سایر سهام
مأخذ: نتایج پژوهش

Table 5. Estimations of Directional spillover volatilities: "From" and "To" others

Source: Research results

"بسوی"	"از سوی"	سهام
0/3476	0/3211	ولصم
0/3093	0/3017	ولغدر
1/1195	1/4828	خبر
0/6809	0/3614	فاراک
0/7669	0/3838	وتوش
0/5359	0/2483	بسهند
0/3106	1/2488	کهتما
0/1817	0/1691	قشکر
0/4994	0/3760	رپتا
0/3480	0/3367	فلی
0/3736	0/3436	ونفت
0/2657	0/3700	وبشهر
0/3211	0/3219	شاراک
0/2499	0/3297	سفارس
0/3407	0/3087	وبهن
0/3889	0/3559	وصنعت
0/4828	0/3874	ولساپا
0/4071	0/2817	رانفور
0/2946	0/3184	بترانس

0/3721	0/4198	دجابر
0/3458	0/3297	خرسق
1/4698	1/7681	حکشتی
0/3849	0/3882	وغدیر
0/2689	0/3777	البرز
0/3124	0/3426	وکار
0/2774	0/2987	ونین
0/2899	0/3935	شاد
0/4091	0/4174	خواری
0/7039	0/2604	کروی
0/4508	0/2657	کطبس



شکل 2. نمودار پراکندگی شاخص‌های سریز نوسان‌بنیوی "از سوی" و "به‌سوی" (استاندارد شده). سهام شرکت‌های "حکشتی"، "اخبر"، "که‌مدا" و "قشکر" بر اساس هر دوی این شاخص‌ها پرت مخلوط می‌شود.

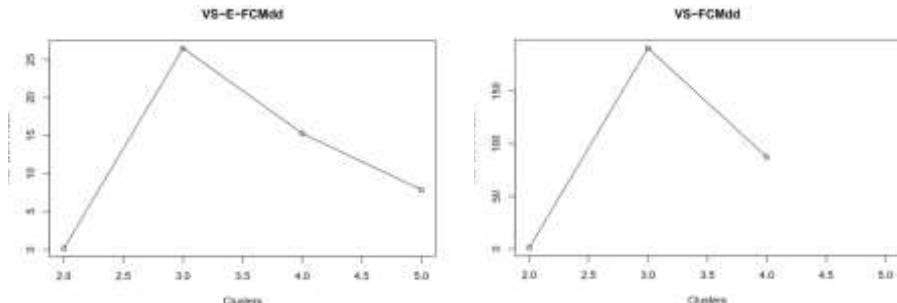
مأخذ: یافته‌های پژوهش

Figure 2. Scatterplot of "From" and "To" volatility spillover indicators (in standardized value). Both indicators suggest that the HEKESHTI, AKHABER, KEHAMEDA, and GHGSHEKAR stocks are outliers.

Source: Research results

اختصاص می‌دهد؛ اما مدل استوار VS-E-FCMdd این سهم‌ها را به در خوشة 1 و 2 با درجه عضویت 0/5 اختصاص می‌دهد؛ علت آن به اثرات هموارکنندگی تبدیل نمایی از عدم مشابهت (رابطه (11))، مربوط می‌شود. به بیان دیگر، مدل VS-E-FCMdd واحدهای پرت را با اختصاص درجه عضویتی نزدیک به مقدار 1/C شناسایی می‌کند که در یک چارچوب مبتنی بر رویکرد استوار، دور از انتظار نخواهد بود؛ بر عکس، مدل VS-FCMdd به اشتباہ واحد پرت را به خوشة با درجه عضویت بالاتر، اختصاص می‌دهد.

علاوه، مدل VS-E-FCMdd یک درجه عضویت کوچک حدود 0/5 را برای سهام "قشکر" نیز اختصاص داده است. به دلیل اینکه مقادیر سریز جهتدار "از سوی" و "به‌سوی" برای این سهام در مقایسه با سایرین پایین‌تر بوده است، در سمت پایین و چپ 0 قرارگرفته است. اما مدل VS-FCMdd سهام "قشکر" را به خوشة 1 با درجه عضویت بالاتر 0/8378 اختصاص می‌دهد. در کنار نتایج خوب‌بندی فوق، با مراجعه به 0 می‌توان اینگونه



شکل ۳. مقاییر شاخص ژی-بنی (1991) (محور y) حاصل از تعداد خوشمهای مختلف (محور x) به تصویر کشیده شده است. شکل سمت راست مربوط به مدل VS-FCMdd و شکل سمت چپ مربوط به مدل VS-E-FCMdd است. تعداد بینهای خوشه عددی است که شاخص ژی-بنی را مینیمم می‌سازد. برای مدل VS-FCMdd، مقدار این شاخص در $C = 5$ بی‌نهایت شده است.
مأخذ: یافته‌های پژوهش

Figure 3. the Xie-Beni index obtained for different values of clusters is depicted. VS-FCMdd is in the right and VS-E-FCMdd is in the left. The optimal number of clusters minimizes the Xie-Beni index. For the VS-FCMdd, the value of this index at $C=5$ is Infinite.

Source: Research results

استدلال نمود که به هر حال این سهام از لحاظ سرریز های نوسانات واحد پرت محسوب می شود. سهام "قشک" جزو دسته شرکت هایی در بورس تهران است که از ارزش بازاری کوچکی برخوردار می باشد؛ از این رو هر دو مقدار سرریز جهت دار برای این سهام کمترین مقدار را دارد؛ علی رغم اینکه این سهام بیشتر از مقداری که از دیگران دریافت می کنند، به آن ها سرریز می دهد اما این مقدار هم از سایر سهم ها بسیار کوچکتر است. بنابراین، به نظر می رسد افزایش حاصل شده از VS-FCMdd از قدرت توضیح دهنگی ضعیفتری نسبت به افزایش حاصل از مدل استوار، برخوردار است.

همچنین، از ۰ ملاحظه می شود که در مدل خوشبندی VS-FCMdd، واحدهای فازی دیگری، بجز آن هایی که می توان به عنوان پرت در نظر گرفت، وجود ندارد. در مقابل، در مدل VS-E-FCMdd هستند زیرا درجه عضویت بسیار پایین دارند و می توانند به خوشة ۱ و خوشة ۲ متعلق باشند (D'Urso et al., 2013).

جدول ۶. نتایج حاصل از خوشبندی بر اساس مدل های FCMdd و Exp-FCMdd: مدویدها و درجات عضویت
مأخذ: نتایج پژوهش

Table 6. Clustering results from FCMdd AND Exp-FCMdd: Medoids and membership degrees
Source: Research results

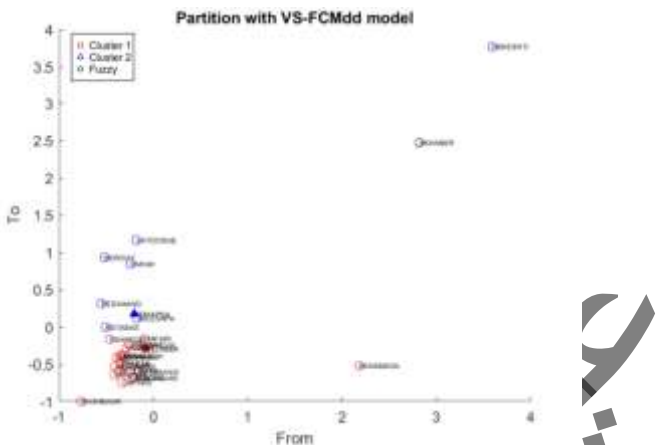
VS-E-FCMdd		VS-FCMdd		Sهام
ونفت (خوشة 2)	وصنعت (خوشة 1)	رجایر (خوشة 1)	رمپنا (خوشة 2)	
0/8511	0/1489	0/0102	0/9897	ولصنم
0/7304	0/2696	0/0299	0/9701	وغذر
0/5	0/5	0/6121	0/3879	اخابر
0/4227	0/5773	0/8943	0/1057	فاراک
0/4218	0/5782	0/8263	0/1737	وتوشه
0/5905	0/4095	0/9822	0/0178	پسهد
0/4999	0/5000	0/3547	0/6453	کهمنا
0/5535	0/4465	0/1622	0/8378	قشک
0/2333	0/7667	1	0	رمينا
0/9699	0/0301	0/0064	0/9936	فملی
1	0	0/0045	0/9955	ونفت

0/3565	0/6435	0/0445	0/9555	ویژه
0/8374	0/1626	0/0180	0/9819	شاراک
0/7486	0/2514	0/0644	0/9356	سفارس
0/7706	0/2294	0/0155	0/9845	وبهن
0	1	0/0070	0/9930	وصنعت
0/2467	0/7533	0/9994	0/0006	ولسایا
0/6644	0/3356	0/1790	0/8210	رانفور
0/7915	0/2085	0/0334	0/9666	پترانس
0/3368	0/6632	0	1	دجابر
0/9190	0/0810	0/0083	0/9917	خشرق
0/5	0/5	0/5842	0/4158	حکشت
0/2156	0/7844	0/0007	0/9993	وغدیر
0/3261	0/6739	0/0409	0/9591	البرز
0/8632	0/1368	0/0173	0/9827	وکار
0/7083	0/2917	0/0510	0/9490	ونوبن
0/3106	0/6894	0/0240	0/9760	نشاهد
0/3270	0/6730	0/0255	0/9745	خاری
0/5597	0/4403	0/8704	0/1296	کروی
0/6256	0/3744	0/8407	0/1593	کطیس

از آنجایی که این سهم‌ها در بین سایر سهم‌ها و در مرکز ۰ قرار گرفته‌اند، واحدهای فازی واقعی به نظر می‌رسند.

به منظور بررسی افزارها با جزئیات بیشتر، نتایج خوشبینی‌های فوق در شکل ۴ و ۰ شکل ۵۰ به تصویر کشیده شده است. سهم‌هایی که متعلق به هر کدام از دو خوشبینی هستند را رنگ قرمز و آبی مشخص شده‌اند، اما سهم‌هایی که درجه عضویت بسیار پایین، با رنگ سیاه مشخص شده‌اند. به نظر می‌رسد افزار به دست آمده از مدل VS-E-FCMdd، یک الگوی سرریز "کم" را در مقابل سرریز "زیاد" نشان می‌دهد؛ به این صورت که سهم‌های قرار گرفته در سمت راست و بالای نمودار دارای سطوح سرریز "زیاد" و سهم‌های قرار گرفته در سمت راست و پایین نمودار سهم‌هایی هستند که از سطوح "کم" سرریز برخوردار می‌باشند. اما در مقابل، افزار به دست آمده از مدل VS-FCMdd، مشاهدات را به دو خوش، یک خوش با سرریز "از سوی" زیاد و خوش دیگر با سرریز "از سوی" کم، گروه‌بندی نموده است؛ سهم‌های قرار گرفته در سمت راست و پایین نمودار دارای سطوح سرریز "از سوی" زیاد ("به سوی" کم) و سهم‌های قرار گرفته در سمت چپ و بالای نمودار سهم‌هایی هستند که از سطوح "از سوی" کم ("به سوی" زیاد) برخوردار هستند.

شکل ۴ افزارهای به دست آمده از مدل VS-FCMdd که یک مدل استوار نیست را نشان می‌دهد. ملاحظه می‌شود که سهام "حکشتی" به خوشة ۲ با رنگ آبی و سهام "کهدا" و "قشکر" به خوشة ۱ با رنگ قرمز اختصاص داده شده‌اند؛ هر چند که این سهم‌ها از مدویدهای خوشة مربوطه که بهترین با مربع قرمز رنگ و مثلث آبی رنگ مشخص شده‌اند، خیلی فاصله دارند. افزار فوق الگوی سرریز "از سوی" زیاد را در مقابل الگوی سرریز "از سوی" کم تأیید می‌کند اما مشاهدات حدی هم وجود دارد که به اشتباه به خوشه‌ها اختصاص داده شده‌اند؛ سهام "خبر" علی‌رغم داشتن مقادیر زیاد سرریزهای "از سوی" و "به سوی"، به دلیل اینکه درجه عضویتی کمتر دارد، فازی محسوب می‌شود که با رنگ سیاه نشان داده شده است؛ در واقع، سهام "خبر" که در نقطه میانه دو افزار مشخص شده در شکل ۴ قرار گرفته به عنوان واحد فازی تشخیص داده شده است.

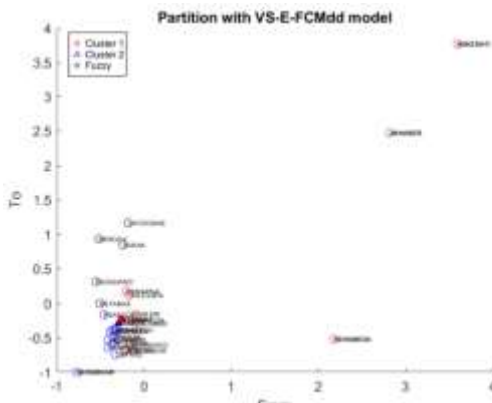


شکل 4. افزارهای به دست آمده از VS-FCMdd. سهمهای قرارگرفته در خوشة 1 و خوشة 2 به ترتیب با رنگ قرمز و رنگ آبی مشخص شده اند. سهمهای با رنگ سیاه و احدهای را مشخص می کنند که درجه عضویت بسیار کوچک دارند که براین اساس می توانند به عنوان واحدهای فازی در نظر گرفته شوند.
مأخذ: پژوهش‌های پژوهش و (Cerqueti et al., 2023)

Figure 4. Partitions estimated from VS-FCMdd. The stocks in clusters 1 and 2 are indicated in red and blue, respectively. The black stocks are units with low degrees of membership, which could be considered fuzzy units.

Source: Research results and (Cerqueti et al., 2023)

بر عکس، شکل 5 نشان می دهد که مدل VS-E-FCMdd یک افزار به دو خوشه با سرریزهای جهت دار "کم" در مقابل سرریزهای جهت دار "زیاد" را نتیجه می دهد؛ اما مشاهدات حدی را از این خوشبندی جدا کرده است. درواقع، سهمهای قرارگرفته در قسمت بالا و چپ شکل 5، با رنگ سیاه مشخص شده اند و با قیمانده سهمهای خوشه اها اختصاص داده شده اند. از این رو، می توان به افزار قابل قبول تری بر حسب خوشه های "کم" و "زیاد" (از نظر سرریز) دست یافت. بر طبق افزار حاصل از مدل VS-E-FCMdd، سهمهای "وتشهه"، "فاراک"، "کروی" و "پسنهنده" هایی به دست آمده اند. این سهمهای مقدار سرریز جهت دار "از سوی" زیر صفر دارند، اما مقدار سرریز "به سوی" بالای صفر دارند. به علاوه، همه سهمهای مشخص شده با رنگ قرمز و آبی در شکل 5، حول مدویدهای خوشه متعلق به آن بطور فشرده تر قرار گرفته اند. از این رو، به نظر می رسد مدل خوشبندی استوار عملکرد برتری در خوشبندی مجموعه داده ها دارد.



شکل 5. افزارهای به دست آمده از VS-E-FCMdd. سهمهای با رنگ سیاه واحدهای را مشخص می‌کند که درجه عضویت بسیار پایین دارند که براین اساس می‌توانند به عنوان واحدهای فازی در نظر گرفته شوند.
منبع: یافته‌های پژوهش و (Cerqueti et al., 2023)

Figure 5. Partitions estimated from VS-E-FCMdd. The stocks in clusters 1 and 2 are indicated in red and blue, respectively. The black stocks are units with low degrees of membership, which could be considered fuzzy units.

Source: Research results and (Cerqueti et al., 2023)

5- نتیجه‌گیری

ارائه یک تعریف مناسب از معیار عدم مشابهت میان سری‌های زمانی در مدل‌های خوشبندی مبتنی بر عدم مشابهت از اهمیت زیادی برخوردار است. هنگامی که سری‌های زمانی مالی مورد توجه باشد، برای رسیدن به یک خوشبندی قابل قبول، قواعد تجربی سری‌های زمانی مالی تیز می‌باید موردنظر قرار بگیرد. در بخش ادبیات نظری بسیاری از رویکردهای خوشبندی که این قوانین تجربی را در نظر گرفته‌اند، معرفی گردید. با این حال، هنوز هم فواین تجربی مهمی وجود دارد که تاکنون برای خوشبندی در نظر گرفته نشده‌اند، اما از اهمیت خاصی برای متخصصین در صنعت مالی و سیاست‌گذاران برخوردار هستند. یکی از این موارد سرریز نوسانات است.

سهم اصلی پژوهش حاضر در ادبیات مربوطه، معرفی دو مدل خوشبندی فازی مبتنی بر درجه و جهت سرریز نوسانات است. از نقطه‌نظر روش‌شناسی، در پژوهش حاضر سرریزهای نوسانات جهت‌دار با استفاده از رویکرد تجزیه واریانس خطای پیش‌بینی (GFEVD) (اندازه گرفته می‌شوند. یک معیار عدم مشابهت بین سهمهای تیز بر اساس سرریزهای نوسانات جهت‌دار معرفی می‌شود. سپس در یک چارچوب فازی، دو مدل خوشبندی PAM پیشنهاد می‌شود که مجموعه وزن‌های بهینه را به طور تکراری محاسبه می‌کند بطوریکه بر اساس آن درجه عضویت که گروه‌بندی نهایی مشاهدات را تعیین می‌کند، محاسبه می‌شود. اولین الگوریتم در نظر گرفته شده مدل VS-FCMdd است. بعلاوه، مدل VS-FCMdd نیز پیشنهاد شده است که با استفاده از یک تبدیل در نمایی از عدم مشابهت وزنی، در مقابل داده‌های پرت استوار خواهد بود.

این دو مدل خوشبندی نخستین بار برای بررسی ساختار بورس تهران از نظر سرریزهای نوسانات بکار برده می‌شود. بر طبق نتایج تجربی، هر دوی مدل‌های خوشبندی یک ساختار دو گروهی را در مجموعه داده‌ها تأیید می‌کنند، یعنی سطوح "زیاد" و "کم" سرریزهای جهت‌دار. به‌حال به دلیل وجود برخی سهام پرت، مدل استوار VS-E-FCMdd افزار قابل قبول‌تری حاصل می‌کند. یافته‌ها

همچنین نشان می دهد که سهام شرکت های فعال در بورس تهران عمدتاً بر حسب سرریز "از سوی" تمیز داده می شوند، یعنی مقداری از سرریز که هر سهام از دیگر سهم ها دریافت می کند. این شواهد تجربی از بورس تهران با بهره گرفتن از سیستم وزن دهنی به دست آمده است که در خلال الگوریتم خوشبندی محاسبه می شود بطوریکه مدل VS-E-FCMdd وزن بیشتر را به بعد سرریز "از سوی" اختصاص می دهد.

یکی از عمدۀ محدودیت های پیش روی پژوهش حاضر، استفاده از یک معیار ایستا برای اندازه گیری سرریز های جهت دار است که پیشنهاد می شود در پژوهش های آتی با استفاده از تئوری پنجره غلتان، شاخص های سرریز پویا محاسبه شوند. در واقع، آنالیز مبتنی بر معیار های پویا بینش ارزشمندی از واستگی مقابل و سرایت ریسک درون سیستم های مالی فراهم می کند که در شرایط وقوع شوک های بروزن زا و دوره های اشتغالی بازار می تواند بوجود آید. براین اساس، می توان الگوریتم های خوشبندی دیگری را با هدف جایگزینی یک معیار سرریز پویا در تابع هدف، تعیین داد. بعلاوه، پیشنهاد می شود از معیار های سرریز دیگری علاوه بر معیار های سرریز زمان متغیر برای خوشبندی استفاده شود. پیشنهاد دیگر، تعیین مدل های خوشبندی استوار جدید به عنوان جایگزین برای مدل VS-E-FCMdd، است. تکنیک های خوشبندی استوار برای پرداختن به سری های زمانی مالی پسیار کاربردی و مفید می باشند که نتایج پژوهش حاضر نیز بر صحبت این ادعا تأکید می کند. در پایان، پیشنهاد می شود مدل های خوشبندی دیگری در چارچوب فازی، برای گروه بندی سری های زمانی نامانا و با ساختار غیرخطی، تعیین داده شود.

Acknowledgments: we appreciate Reviewers' insightful suggestions on improving the quality of the research.

Conflict of Interest: The author declares no conflict of interest.

Funding: The author received no financial support for the research, authorship, and publication of this article.

Reference

- Alonso, A. M., D'Urso, P., Gamboa, C., & Guerrero, V. (2021). Cophenetic-based fuzzy clustering of time series by linear dependency. *International Journal of Approximate Reasoning*, 137, 136-114. doi:<https://doi.org/10.1016/j.ijar.2021.07.006>
- Asghari, F & „Ahmadi, F. (2018). A hybrid model for appraising and forecasting loan repayments (case study: karafarini omid fund). *Economics Research*, 18(71), 223-185. doi:10.22054/joer.2018.9833 [in persian]
- Bastos, J. A., & Caiado, J. (2014). Clustering financial time series with variance ratio statistics. *Quantitative Finance*, 14(12), 2133-2121. doi: 14697688.2012.726736/10.1080
- Bastos, J. A., & Caiado, J. (2021). On the classification of financial data with domain agnostic features. *International Journal of Approximate Reasoning*, 138, 11-11. doi:<https://doi.org/10.1016/j.ijar.2021.07.008>
- Bei, H., Mao, Y., Wang, W., & Zhang, X. (2021). Fuzzy clustering method based on improved weighted distance. *Mathematical Problems in Engineering*, 2021, 6687202. doi: 6687202/2021/10.1155

- Buncic, D., & Gisler, K. I. M. (2016). Global equity market volatility spillovers: A broader role for the United States. *International Journal of Forecasting*, 32(4), 1339-1317. doi:<https://doi.org/10.1016/j.ijforecast.2016.05.001>
- Caiado, J., Crato, N., & Peña, D. (2006). A periodogram-based metric for time series classification. *Computational Statistics & Data Analysis*, 50(10), 2684-2668. doi:<https://doi.org/10.1016/j.csda.2005.04.012>
- Caiado, J., Maharaj, E. A., & D'Urso, P. (2015). Time-series clustering. In *Handbook of Cluster Analysis* (pp. 285-262). Chapman and Hall/CRC.
- Cerqueti, R., D'Urso, P., De Giovanni, L., Giacalone, M., & Mattera, R. (2022). Weighted score-driven fuzzy clustering of time series with a financial application. *Expert Systems with Applications*, 198, 116752. doi:<https://doi.org/10.1016/j.eswa.2022.116752>
- Cerqueti, R., D'Urso, P., De Giovanni, L., Mattera, R., & Vitale, V. (2023). Fuzzy clustering of financial time series based on volatility spillovers. *Annals of Operations Research*. doi:10.1007/s 10479-023-05560-7
- Cerqueti, R., & Mattera, R. (2023). Fuzzy clustering of time series with time-varying memory. *International Journal of Approximate Reasoning*, 153, 218-193. doi:<https://doi.org/10.1016/j.ijar.2022.11.021>
- Chang, C.-L., McAleer, M., & Tansuchat, R. (2013). Conditional correlations and volatility spillovers between crude oil and stock index returns. *The North American Journal of Economics and Finance*, 25, 138-116. doi:<https://doi.org/10.1016/j.najef.2012.06.002>
- Chen, Y., Chiu, J., & Chung, H. (2022). Givers or receivers? return and volatility spillovers between Fintech and the Traditional Financial Industry. *Finance Research Letters*, 46, 102458. doi:<https://doi.org/10.1016/j.frl.2021.102458>
- Cheuathonghua, M., Padungsaksawasdi, C., Boonchoo, P., & Tongurai, J. (2019). Extreme spillovers of VIX fear index to international equity markets. *Financial Markets and Portfolio Management*, 33(1), 38-31. doi:10.1007/s 11408-018-0323-6
- Choi, S.-Y. (2022). Dynamic volatility spillovers between industries in the US stock market: Evidence from the COVID- 19 pandemic and Black Monday. *The North American Journal of Economics and Finance*, 59, 101614. doi:<https://doi.org/10.1016/j.najef.2021.101614>

- Coppi, R., D'Urso, P., & Giordani, P. (2010). A fuzzy clustering model for multivariate spatial time series. *Journal of Classification*, 27, 88-54. doi:<https://doi.org/10.1007/s00357-010-9043-y>
- D'Urso, P. (2005). Fuzzy clustering for data time arrays with inlier and outlier time trajectories. *IEEE Transactions on Fuzzy Systems*, 13(5), .604-583doi:10.1109/TFUZZ.2005.856565
- D'Urso, P., De Giovanni, L., Maharaj, E. A., Brito, P., & Teles, P. (2023). Wavelet-based fuzzy clustering of interval time series. *International Journal of Approximate Reasoning*, 152, 159-136. doi:<https://doi.org/10.1016/j.ijar.2022.09.014>
- D'Urso, P., De Giovanni, L., & Massari, R. (2015). Time series clustering by a robust autoregressive metric with application to air pollution. *Chemometrics and Intelligent Laboratory Systems*, 141, 124-107. doi:<https://doi.org/10.1016/j.chemolab.2014.11.003>
- D'Urso, P., De Giovanni, L., & Massari, R. (2016). GARCH-based robust clustering of time series. *Fuzzy Sets and Systems*, 305, 28-21. doi:<https://doi.org/10.1016/j.fss.2016.01.010>
- D'Urso, P., Maharaj, E. A., & Alonso, A. M. (2017). Fuzzy clustering of time series using extremes. *Fuzzy Sets and Systems*, 318, 79-56. doi:<https://doi.org/10.1016/j.fss.2016.10.006>
- D'Urso, P., Massari, R., Cappelli, C., & De Giovanni, L. (2017). Autoregressive metric-based trimmed fuzzy clustering with an application to PM 10 time series. *Chemometrics and Intelligent Laboratory Systems*, 161, 26-15. doi:<https://doi.org/10.1016/j.chemolab.2016.11.016>
- D'Urso, P., De Giovanni, L., & Massari, R. (2021). Trimmed fuzzy clustering of financial time series based on dynamic time warping. *Annals of Operations Research*, 299, 1395-1379. doi:https://doi.org/10.1007/s_10479-019-03284-1
- D'Urso, P., De Giovanni, L., Massari, R., D'Ecclesia, R. L., & Maharaj, E. A. (2020). Cepstral-based clustering of financial time series. *Expert Systems with Applications*, 161, 113705. doi:<https://doi.org/10.1016/j.eswa.2020.113705>
- D'Urso, P., De Giovanni, L., Massari, R., & Di Lallo, D. (2013). Noise fuzzy clustering of time series by autoregressive metric. *METRON*, 71(3), .243-217doi:10.1007/s40300-013-0024-x
- D'Urso, P., De Giovanni, L., & Vitale, V. (2023). A robust method for clustering football players with mixed attributes. *Annals of Operations Research*, 325(1), 36-39. doi:<https://doi.org/10.1007/s10479-022-04558-x>

- D'Urso, P & ,Maharaj, E. A. (2009). Autocorrelation-based fuzzy clustering of time series. *Fuzzy Sets and Systems*, 160(24), 3589-3565. doi:<https://doi.org/10.1016/j.fss.2009.04.013>
- Diebold, F. X., & Yilmaz, K. (2009). Measuring financial asset return and volatility spillovers, with application to global equity markets. *The Economic Journal*, 119(534), 171-158. doi:<https://doi.org/10.1111/j.1468-0297.2008.02208.x>
- Diebold, F. X., & Yilmaz, K. (2012). Better to give than to receive: Predictive directional measurement of volatility spillovers. *International Journal of Forecasting*, 28(1), 66-57. doi:<https://doi.org/10.1016/j.ijforecast.2011.02.006>
- Diebold, F. X., & Yilmaz, K. (2014). On the network topology of variance decompositions: Measuring the connectedness of financial firms. *Journal of Econometrics*, 182(1), 134-119. doi:<https://doi.org/10.1016/j.jeconom.2014.04.012>
- Ehsani, A., & Alemohammad, S. (2021). Fuzzy clustering of Tehran Stock Exchange Industries Index time series based on Autoregressive model. *4th International Conference on Soft Computing*. [in persian]
- Farid, D., & Pourhamidi, M. (2012). Classifying stocks of listed companies on tehran stock exchange using fuzzy cluster analysis. *Financial Accounting Research*, 4(3), 128-105. doi:[10.1001.1.23223405.1391.4.3.8.8](https://doi.org/10.1001.1.23223405.1391.4.3.8.8) [in persian]
- Farnam, M., & Darehmiraki, M. (2023). A parametric method for fuzzy data clustering. *Fuzzy Systems and its Applications*, 5(2), 119-193. doi:[10.22034/jfsa.2023.331678.1138](https://doi.org/10.22034/jfsa.2023.331678.1138)[in persian]
- Gillaizeau, M., Jayasekera, R., Maaitah, A., Mishra, T., Parhi, M., & Volokitina, E. (2019). Giver and the receiver: Understanding spillover effects and predictive power in cross-market Bitcoin prices. *International Review of Financial Analysis*, 63, 104-186. doi:<https://doi.org/10.1016/j.irfa.2019.03.005>
- Jondeau, E., & Rockinger, M. (2012). On the importance of time variability in higher moments for asset allocation. *Journal of Financial Econometrics*, 10(1), 123-184. doi:[10.1093/jjfinec/nbr006](https://doi.org/10.1093/jjfinec/nbr006)
- Lafuente-Rego ,B., D'Urso, P., & Vilar, J. A. (2020). Robust fuzzy clustering based on quantile autocovariances. *Statistical Papers*, 61(6), 2448-2393. doi:[10.1007/s00362-018-1053-6](https://doi.org/10.1007/s00362-018-1053-6)
- López-Oriona, Á., Vilar, J. A., & D'Urso, P. (2022). Quantile-based fuzzy clustering of multivariate time series in the frequency domain. *Fuzzy Sets and Systems*, 443, 154-115. doi:[10.1016/j.fss.2022.02.015](https://doi.org/10.1016/j.fss.2022.02.015)

- Mantegna, R. N. (1999). Hierarchical structure in financial markets. *The European Physical Journal B - Condensed Matter and Complex Systems*, 11(1), 197-193. doi:10.1007/s100510050929
- Otranto, E. (2008). Clustering heteroskedastic time series by model-based procedures. *Computational Statistics & Data Analysis*, 4698-, (10)52 .4685doi:[10.1016/j.csda.2008.03.020](https://doi.org/10.1016/j.csda.2008.03.020)
- Otranto, E., & Gargano, R. (2015). Financial clustering in presence of dominant markets. *Advances in Data Analysis and Classification*, 9(3), 339-315. doi:10.1007/s11634-014-0189-z
- Parkinson ,M. (1980). The extreme value method for estimating the variance of the rate of return. *The Journal of Business*, 53(1), 65-61. doi:<http://www.jstor.org/stable/2352357>
- Pesaran, H. H., & Shin, Y. (1998). Generalized impulse response analysis in linear multivariate models. *Economics Letters*, 58(1), 29-17. doi:[https://doi.org/10.1016/S0165-1765\(97\)00214-0](https://doi.org/10.1016/S0165-1765(97)00214-0)
- Piccolo, D. (1990). A distance measure for classifying ARIMA models. *Journal of Time Series Analysis*, 11(2), 164-153. doi:[10.1111/j.1467-9892.1990tb00048.x](https://doi.org/10.1111/j.1467-9892.1990tb00048.x)
- Rafiei, S., & Moradi, P. (2016). Improving performance of fuzzy C-means clustering algorithm using automatic local feature weighting. *Tabriz Journal of Electrical Engineering*, 46(2), 86-75. [in persian]
- Rahmani Asl, F., Sinaei, H. a., & Nets, A. (2021). Forming an portfolio of Exchange Traded Funds with the Clustering and UTADIS Models. *Quarterly Journal of Quantitative Economics*, 18(1), 79-96. doi:10.22055/jqe.2020.32330.2204
- Rayati Shavazi, A., Blue, G., Ebrahimi Sarv-e-Olia, M. H., & Amiri, M. (2021). Financial contagion based on overlapping portfolio in TEPIX industrial groups. *Financial Management Strategy*, 9(3), 102-179. doi:10.22051/jfm.2019.27654.2175[in persian]
- Savvides, A., Promponas, V. J., & Fokianos, K. (2008). Clustering of biological time series by cepstral coefficients based distances. *Pattern Recognition*, 41(7), 2412-2398. doi:[10.1016/j.patcog.2008.01.002](https://doi.org/10.1016/j.patcog.2008.01.002)
- Sinaei, H. a., Mehrabi, A., Basiir zadeh, H., & Samandar, M. (2016). Appling an expected regret minimization in constructing portfolio of mutual funds. *Quarterly Journal of Quantitative Economics*, 13(1), 119-140. doi:10.22055/jqe.2016.12329
- Sinaei, H., Basirzad, H., & Samandar, M. (2014). Application of clustering analysis in assessing the performance of mutual funds. *Financial Management Strategy*, 2(1), 20-21. doi:[10.22051/jfm.2015.974](https://doi.org/10.22051/jfm.2015.974)[in persian]

- Soltyk, S. J., & Chan, F. (2023). Modeling time-varying higher-order conditional moments: A survey. *Journal of Economic Surveys*, 37(1), 57-33. doi:[10.1111/joes.12481](https://doi.org/10.1111/joes.12481)
- Van der Laan, M., Pollard, K., & Bryan, J. (2003). A new partitioning around medoids algorithm. *Journal of Statistical Computation and Simulation*, 73(8), 584-575. doi: 0094965031000136012/10.1080
- Wu, K.-L., & Yang, M.-S. (2002). Alternative c-means clustering algorithms. *Pattern Recognition*, 35(10), 2278-2267. doi:[10.1016/S0031-3203\(01\)00197-2](https://doi.org/10.1016/S0031-3203(01)00197-2)
- Xie, X. L., & Beni, G. (1991). A new fuzzy clustering validity criterion and its application to color image segmentation. Paper presented at the Proceedings of the 1991 IEEE International Symposium on Intelligent Control.
- Zhu, L. (2016). Improvement of weighted Euclidean distance clustering algorithm. *Computer & Digital Engineering*, 3(44), 424-421

پایه انتشار